

身解剖生理之间的关系进行了研究,发现左室壁不均匀的收缩、舒张速度与心室壁心肌纤维的生理解剖结构不同有关。左室有纵行或环行起源的心肌纤维,纵行纤维走行为从心尖到纤维房室环,并且主要分布于左室游离壁心内膜和心外膜层及乳头肌内,而室间隔无纵行纤维,左室收缩期的缩短与舒张期的延伸主要是纵行纤维的运动;DTI 观察显示,左室侧壁,后壁收缩速度高于室间隔,这与纵行纤维排列有关,纵行纤维在侧壁丰富而在室间隔缺乏。DTI 通过对不同室壁,不同节段速度的测量,间接反映心肌收缩的差异性,这种差异性与心肌纤维的立体分布有关。冠心病者的收缩模式不同于正常人,可能因为缺血导致心肌纤维的损伤从而改变纤维收缩的速度和方向^[7,8]。

另外,对正常组与冠心病组的室壁节段分析发现:每一研究对象 s 的均值与左室射血分数存在相关,说明局部收缩功能与整体收缩功能之间的关系,冠心病者局部功能的损害导致整体功能的异常。

〔参考文献〕

- [1] Ingels NB, Daughters GT, Srinson EB, et al. Evaluation of methods for quantitating left ventricular segmental wall motion in man using myocardial markers as a standard [J]. Circulation, 1980, 61

- (5): 966-972.
- [2] Pai RG, Gill KS. Amplitudes, durations and timings of apically directed left ventricular myocardial velocities: I. Their normal pattern and coupling to ventricular filling and ejection [J]. J Am Soc Echocardiogr, 1998, 11(2): 105-111.
- [3] Jamal F, Derumeaux G, Douillet R, et al, Analysis and quantification of longitudinal contraction of the left ventricle in myocardial infarction, value of Doppler myocardial tissue imaging [J]. Arch Mal Coeur Vaiss, 1999, 92(3): 315-322.
- [4] 郑哲岚,徐启彬,赵君康,等,多普勒组织声像图对冠心病室壁运动频谱的研究 [J]. 中国医学影像技术, 1998, 14(12): 895-899.
- [5] 田新桥,钱蕴秋,周晓东,等,多普勒组织成像对冠心病患者室壁运动速度的研究 [J]. 中华超声影像学杂志, 2000, 9(7): 405-408.
- [6] Gorcsan J, Gulati VK, Mandarino WA, et al. Color-coded measures of myocardial velocity throughout the cardiac cycle by tissue Doppler imaging to quantify regional left ventricular function [J]. Am Heart J, 1996, 13(6): 1203-1213.
- [7] Mistake K, Yamagishi M, Tanaka N, et al. New method for evaluating left ventricular motion by color coded tissue Doppler imaging: In vitro and in vivo studies [J]. J Am Coll Cardiol, 1995, 25: 714-718.
- [8] Rackley CE, Rusell RO, Mantle JA, et al. Modern approach to the patient with acute myocardial infarction [J]. Curr Prob Cardiol, 1977, 1: 49-56.

椎管内纤维脂肪瘤 1 例报告

李宏军¹,张海合²,张 名²,李宏池²,赵文霞³,沈 辉³

(1.河南南阳卫生学校附属医院磁共振室,2.外三科,河南 南阳 473043; 3.南阳市三院 CT 室)

〔中图分类号〕 R445.2 〔文献标识码〕 B 〔文章编号〕 1003-3289(2002)02-0156-01

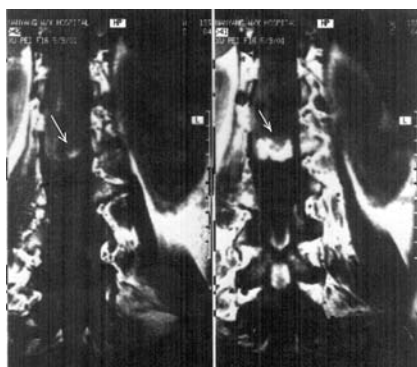
患者 女,16岁,主诉:腰腿疼进行性加重伴行走困难6年。体检:T₁₁~L₃棘突叩击痛,左下肢肌肉萎缩外旋畸形,踝关节强直,整个下肢皮肤感觉麻木,踝阵挛明显,巴氏征阳性,右下肢踝关节强直,巴氏征阳性,肌力右侧Ⅲ级。既往史:患者平素体健,否认有“结核”及肝炎等传染病史,无手术外伤史,无药物过敏史,预防接种随社会进行。系统回顾无异常。个人史:生于原籍,无长期外地居住史,无疫水疫区接触史,无有害毒物及放射线接触史,居住条件一般,无不良嗜好。月经史:14岁3~4天/25~27日,色量适中,无痛经闭经史。否认有家族遗传病及传染病史。

〔作者简介〕 李宏军(1964—),男,学士,主治医师。

〔收稿日期〕 2001-10-20

MRI:T₁₁~L₃椎管内脊髓背侧可见长约11cm的略短T1长T2信号,其间信号混杂,肿瘤随脊髓上下蔓延生长呈梭形,脊髓受压明显,椎管变宽。印象:椎管内占位。多考虑畸胎瘤。

手术及病理结果:主要显示为脂肪组织和纤维组织,胶原组织外周有包膜组织,符合纤维脂肪瘤的病理变化。



讨论 纤维脂肪瘤的发病率无年龄差别,通常为单发,少数可为多发,多发生在体表,该肿瘤沿椎管向下生长,范围较广泛,与脊髓分界清楚,但脊髓受压明显。肿瘤本身含脂肪组织及胶原组织,信号混杂(如图)。椎管内纤维脂肪瘤应与椎管内脂肪瘤,皮样囊肿,胆脂瘤及畸胎瘤鉴别,以髓外硬膜下多见。MRI表现:脂肪瘤具有特征性的MRI表现,在T1WI呈圆形或长条形的高信号,在T2WI呈中等信号,以椎管后部为多,尽管前方较锐利,但其前方常与脊髓背部粘连,呈参差不齐的表现,以胸段为多。皮样囊肿,胆脂瘤及畸胎瘤的MRI表现多样化,主要取决于MRI扫描方法以及肿瘤的内部结构,它们都可以呈混杂信号。胆脂瘤含有脂肪的机会没有畸胎瘤多且易出现弥漫性混杂信号,在T2WI可高于脑脊液信号,它们之间极有类似之处,应加以鉴别。